

京都大学工学部 正会員 岩佐 義朗
 長崎大学工学部 正会員 野口 正人
 九州電力 正会員 松葉 保幸

1. まえがき 近年における各種の水利用に対応し、ダム貯水池の水量制御も水質制御と同時に満足されなければならないがなってきた。この種の問題は物理、化学、生物などの諸侧面からの検討を必要とするが、とくに水の流況を知ることは他の水質諸因子を推定する上で重要なことである。したがって、ここでは水質要素として水温・濁度を取り上げ、その予測を行なうことにより池内の流れについて若干の検討を行なった。

2. 基礎方程式ヒシミュレーション・モデル 成層化した貯水池における

濁水流の流況を調べるには、流れの連続方程式、運動方程式とともに懸濁物質の保存式、熱エネルギー式を解かねばならない。一般に、運動方程式をこの種の流れ場で厳密に解くことは困難であり、分離取水公式で代用することにする。残り3式はつぎのようになる。ここに、 C は懸濁物質の濃度、 ρ

$$\frac{\partial(1-C)\rho}{\partial t} + \frac{\partial}{\partial x_i}\{(1-C)\rho u_i\} = 0, \quad \frac{\partial C}{\partial t} + \frac{\partial}{\partial x_i}(C \rho v_i) = 0, \quad \frac{\partial \theta}{\partial t} + \frac{\partial}{\partial x_i}(H u_i) = H$$

は貯水池内の単位体積あたりの熱量であり、 ρ, θ, u_i, v_i はそれぞれ流速ならび

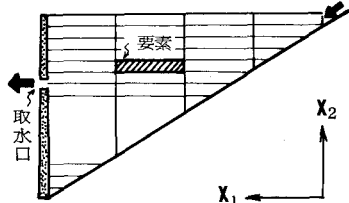


図-1 模式図

に懸濁物質の密度と速度成分を、また、 H は単位時間、単位体積あたりの熱生成量を表わしている。実際の計算においては、これらの式を乱流時の平均流に対するものに変換し、図-1の各要素について積分したものを使、だが、とくに取水層についてはその厚さをKohの式より求め、流速分布は非対称な正規分布形とした。

3. 野外観測例 観測を行なった萱瀬ダムは郡川(長崎県)の上流にある洪水調節・かんがい・上水道の3目的をもつ多目的ダム(取水口、E.L.204m)で、貯水池規模は総容量 $3.03 \times 10^6 m^3$ 、有効容量 $2.63 \times 10^6 m^3$ であり、全国的には小規模なダムである。しかし、水深は常に25mほどあり、年間流出量と貯水池総容量との比も大きくなっている($Q_o/V_t \approx 10$)、夏季には安定した躍層の発達が予想される¹⁾。なお、観測は50年7~11月にかけて7回行なったが、以下の解析には萱瀬ダム管理事務所の資料をも使った。

観測より求めた貯水池最深部での水温分布は図-3のようであり、また図-3には流入・流出水温が流量の変化とともに表わされており。とくに、図-2から放熱期における表層での成層破壊が徐々に深部に伝わっていくことがわかるが、底での水温は従来の観測と同じく7~8°Cで年間を通じてほぼ一定である。一方、図-4には貯水池内の濁度が等濁度線を使つて示されており。この図より、池水の濁りに影響を及ぼす2種類の要因について検討することができる。すなはち、最初のものは移流に伴なつてある。9月4日の観測結果を見ればわかるように、流量規模が大きくなつたため池水の流れは分離取水の状態になつておらず、取水口附近で死水領域ができる、濁水流入前の清澄な水が残され

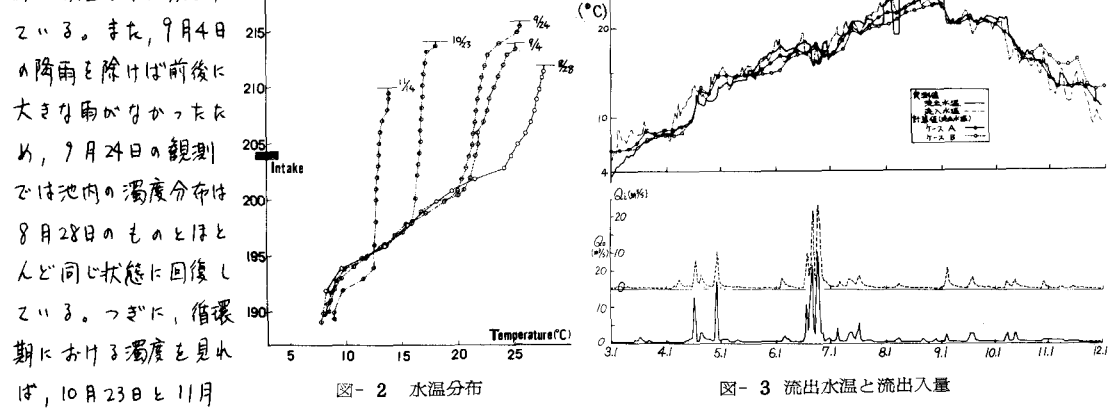


図-2 水温分布

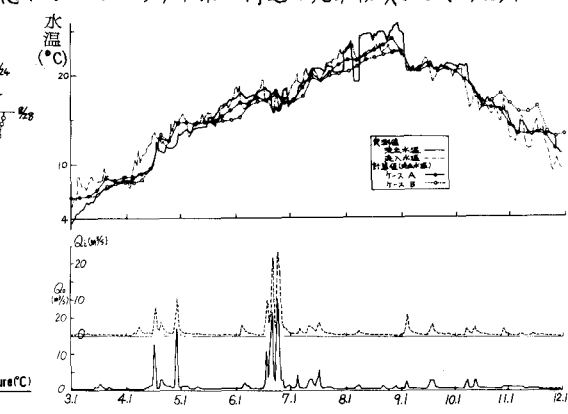


図-3 流出水温と出入水量

14日の観測結果から明らかなように、貯水池上流側から底層破壊が起り、徐々に濁りが池内全体に及んでいく。とくに、11月14日のものは濁りが顕著であり、等濁度線も鉛直循環が完全に起つていいことがわかる。そのため、底の水温は1年で一番高くなる。一方、セッキ板による透過程深の測定では、8月28日、9月24日には3mほどあったが、9月4日、10月23日のものは1.5~2.0mしかなく、濁度分布との相関が高くなることが明らかである。したがって、高濁度の貯水池では、水中での日射量の消減係数は濁度の関数として表わすことが必要である。

4. 水温・濁度の予測 薩摩貯水池での水温・濁度の予測を行なうため、2.2で示されたモデルを用いて計算した。計算は、水深ならびに時間の基本間隔をそれぞれ1m、1日とし、浮遊物質の沈降速度は土砂粒子の比重2.65、粒径6μmとして求められたものを使って行なわれた。また、計算に必要なデータで観測された流入濁度については流量の関数として表わすこととし、流入量がある限界を超えたときのみ考慮した。計算結果について記せば以下のようである。

まず、流出水温については、図-3に熱収支項に気象要因を考慮したケースAと、無視したケースBの結果が示される。図から明らかなように、薩摩貯水池においては移流熱量のみから求めた計算値は実測値と良好な一致を示さず、 Q_e/V_{in} が少々多い貯水池では平衡水温に及ぼす気象要因の影響が著しく、とくに放熱期における表層冷却に対する顯熱の影響が大きいことがわかる。また、池内の水温分布も同様な理由から、ケースAの結果がより観測値に近い値を示した。さらに、計算より求められた濁度分布については、9月4日のものの一例が図-5に示される。前述したように、流入濁度を仮定したため、計算値と実測値とをそのまま比較することはできないが、定性的にはよく現象をシミュレートしており、モデルに設定された仮定の妥当性がうかがわれる。以上の計算では水温・濁度に対する基礎式に、直接にはこれら両者の相関を考慮されていない。

しかし、間接的には分離取水層厚を決定する際や輻射熱の吸収量を濁度の関数として表わすことにより考慮されていく。実際、本貯水池で後者の影響を入れて計算したところ、濁水流入時に池内の水温ならびに取水水温は若干変化するがその差は小さく、通常の予測計算では考慮するまでもないことがわかった。むしろ、水温計算の精度を上げるために、流入層厚を正確に予測し、各種の輸送係数の値を知ることが重要と思われる。

5. あとがき 2次元モデルを使って水温・濁度の予測を行ない、観測結果との比較を行なった。その結果、池内の濁度分布はこのモデルにより、かなり良く予測されることがわかった。今後さらに予測精度の向上に努めたい。

参考文献 1) 岩佐・野口・鬼島、京大防災研年報18B、昭50

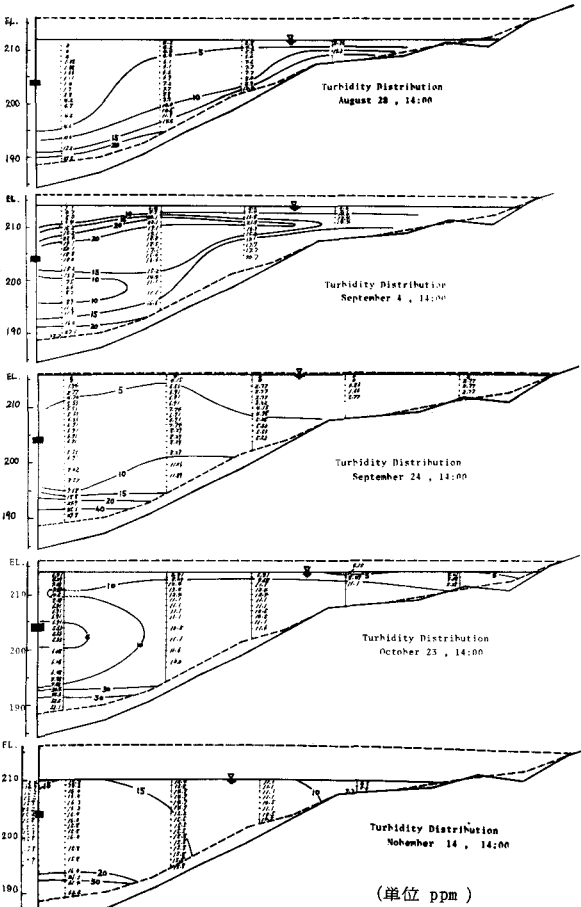


図-4 濁度分布(実測値)

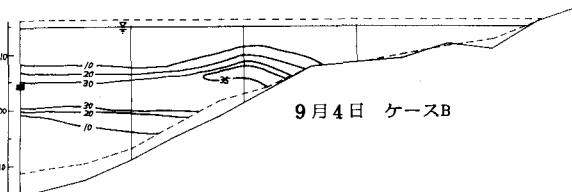


図-5 濁度分布(計算値)